

И. В. Украинец, Н. Л. Березнякова, Е. В. Моспанова

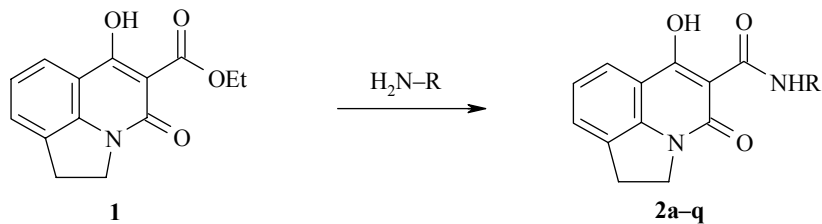
4-ГИДРОКСИХИНОЛОНЫ-2

121.* СИНТЕЗ И БИОЛОГИЧЕСКИЕ СВОЙСТВА АЛКИЛАМИДОВ 1-ГИДРОКСИ-3-ОКСО-5,6-ДИГИДРО-3Н-ПИРРОЛО-[3,2,1-ij]ХИНОЛИН-2-КАРБОНОВОЙ КИСЛОТЫ

Предложен простой метод получения алкиламидов 1-гидрокси-3-оксо-5,6-дигидро-3Н-пирроло[3,2,1-*i*]хинолин-2-карбоновой кислоты. На примере *втор*-бутиламида обсуждаются особенности пространственного строения синтезированных соединений. Приведены результаты изучения их противовоспалительной и диуретической активности.

Ключевые слова: алкиламиды, 4-гидрокси-2-оксохинолин-3-карбоновые кислоты, диуретическое действие, противовоспалительная активность, РСА.

Для трансформации этилового эфира 1-гидрокси-3-оксо-5,6-дигидро-3Н-пирроло[3,2,1-*i,j*]хинолин-2-карбоновой кислоты (**1**) в алкил-, арил- или гетариламиды, представляющие интерес в качестве потенциально биологически активных веществ, предложена ее обработка 40% избытком соответствующего амина в кипящем бромбензоле в течение 20 ч с последующей отгонкой растворителя при пониженном давлении и очисткой конечных продуктов реакции [2]. В то же время, ранее мы неоднократно отмечали высокую реакционную способность 1-R-4-гидрокси-2-оксо-3-этоксикарбонил-1,2-дигидрохинолинов, позволяющую амидировать их гораздо эффективнее [3–5]. Очевидное структурное сходство эфира **1** с такими соединениями позволяет предположить, что и он будет взаимодействовать с аминами (по крайней мере, с алифатическими) в более мягких условиях.



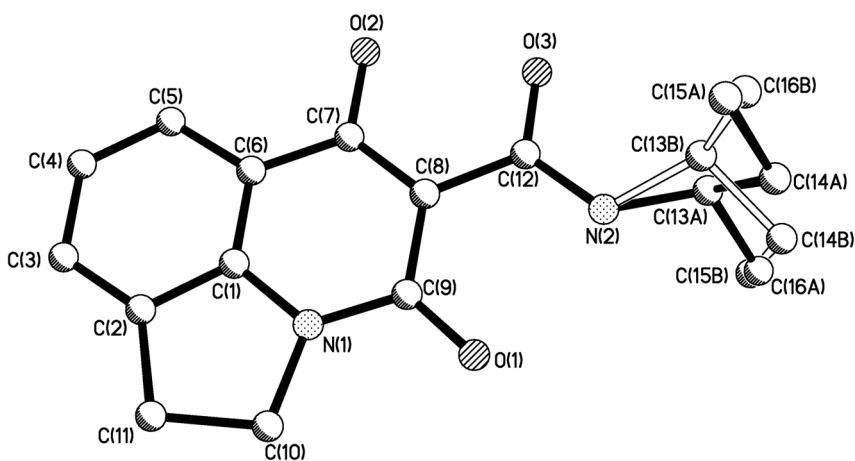
2 a R = Me, b R = Et, c R = All, d R = Pr, e R = i-Pr, f R = Bu, g R = i-Bu, h R = s-Bu, i R = C₅H₁₁, j R = i- C₅H₁₁, k R = 2-гидроксиэтил, l R = 3-гидроксипропил, m R = cyclo-C₃H₅, n R = cyclo-C₅H₉, o R = cyclo-C₆H₁₁, p R = cyclo-C₇H₁₃, q R = адамантан-1-ил

* Сообщение 120 см. [1].

Проведенные нами эксперименты полностью подтвердили высказанное предположение. Как оказалось, превращение эфира **1** в алкиламиды 1-гидрокси-3-оксо-5,6-дигидро-3Н-пирроло[3,2,1-*i,j*]хинолин-2-карбоновой кислоты **2a–q** легко осуществимо в кипящем этаноле, а с газообразными аминами даже и при комнатной температуре, причем хроматографический мониторинг свидетельствует о том, что в большинстве случаев реакция заканчивается через 2–3 ч. Неоправданным следует признать также и применение 40% избытка амина, поскольку полное амидирование обеспечивают обычные для подобных реакций 10% избытки.

Таким образом, данная методика позволяет не только существенно упростить выделение целевых соединений при их высоких выходах, но и значительно сократить продолжительность реакции, а также расход аминов, что дает основания рекомендовать ее в качестве препартивной.

Все полученные амиды **2a–q** (табл. 1) представляют собой бесцветные кристаллические вещества, растворимые в ДМФА и ДМСО, практически нерастворимые в воде. Их строение подтверждено спектрами ЯМР ^1H (табл. 2), а на примере *втор*-бутиламида **2h** – еще и РСА (рисунок, табл. 3,4), из которого следует, что трициклический фрагмент и атомы O₍₂₎, C₍₁₂₎, O₍₃₎, N₍₂₎, O₍₁₎ этого соединения лежат в одной плоскости с точностью 0.01 Å. Вероятно, это обусловлено наличием двух внутримолекулярных водородных связей O₍₂₎–H₍₂₀₎...O₍₃₎ (H...O 1.70 Å, O–H...O 149°) и N₍₂₎–H_(2NA)...O₍₁₎ (H...O 1.96 Å, N–H...O 135°), образование которых приводит к значительному удлинению связей O₍₁₎–C₍₉₎ 1.242(2) и O₍₃₎–C₍₁₂₎ 1.262(2) Å по сравнению с их средним значением 1.210 Å [6]. Связь C₍₇₎–C₍₈₎ 1.382(3) Å также удлинена по сравнению с ее средним значением 1.326 Å, что характерно для хинолоновых соединений. Вторичный бутильный заместитель при атоме N₍₂₎ разупорядочен по двум положениям (**A** и **B**) вследствие вращения вокруг связи C₍₁₂₎–N₍₂₎ с заселенностью **A:B** = 59:41% и имеет конформацию,



Строение молекулы *втор*-бутиламида **2h** с нумерацией атомов.

Таблица 1

Характеристики алкиламидов 1-гидрокси-3-оксо-5,6-дигидро-3Н-пирроло-[3,2,1-ij]хинолин-2-карбоновой кислоты 2а–q*

Соединение	Брутто-формула	Найдено, %			Т. пл., °C (этанол)	Выход, %	ПА,** %	ДА,*** %
		C	H	N				
2a	C ₁₃ H ₁₂ N ₂ O ₃	63.93 63.81	4.95 4.86	11.47 11.55	187–189	94	+1.6	63
2b	C ₁₄ H ₁₄ N ₂ O ₃	65.11 65.20	5.46 5.58	10.85 10.77	143–145	95	+51.6	125
2c	C ₁₅ H ₁₄ N ₂ O ₃	66.66 66.53	5.22 5.14	10.36 10.42	116–118	93	0	88
2d	C ₁₅ H ₁₆ N ₂ O ₃	66.16 66.29	5.92 5.84	10.29 10.19	88–90	88	+13.3	63
2e	C ₁₅ H ₁₆ N ₂ O ₃	66.16 66.11	5.92 5.96	10.29 10.20	161–163	76	+20.0	100
2f	C ₁₆ H ₁₈ N ₂ O ₃	67.12 67.25	6.34 6.46	9.78 9.86	84–86	85	-7.5	113
2g	C ₁₆ H ₁₈ N ₂ O ₃	67.12 67.27	6.34 6.45	9.78 9.90	133–135	87	+ 15.8	112
2h	C ₁₆ H ₁₈ N ₂ O ₃	67.12 67.04	6.34 6.22	9.78 9.69	176–178	75	-13.3	63
2i	C ₁₇ H ₂₀ N ₂ O ₃	67.98 67.85	6.71 6.65	9.33 9.26	81–83	83	+5.8	75
2j	C ₁₇ H ₂₀ N ₂ O ₃	67.98 67.89	6.71 6.67	9.33 9.39	118–120	86	+6.6	88
2k	C ₁₄ H ₁₄ N ₂ O ₄	61.31 61.40	5.14 5.26	10.21 10.12	159–161	91	+24.1	75
2l	C ₁₅ H ₁₆ N ₂ O ₄	62.49 62.40	5.59 5.51	9.72 9.88	133–135	85	+10.8	100
2m	C ₁₅ H ₁₄ N ₂ O ₃	66.66 66.75	5.22 5.31	10.36 10.26	166–168	78	+9.1	100
2n	C ₁₇ H ₁₈ N ₂ O ₃	68.44 68.38	6.08 6.00	9.39 9.33	176–178	83	+2.5	150
2o	C ₁₈ H ₂₀ N ₂ O ₃	69.21 69.28	6.45 6.56	8.97 8.85	202–204	86	-3.3	63
2p	C ₁₉ H ₂₂ N ₂ O ₃	69.92 69.99	6.79 6.87	8.58 8.64	170–172	80	+15.8	67
2q	C ₂₂ H ₂₄ N ₂ O ₃	72.51 72.43	6.64 6.55	7.69 7.78	252–254	74	-28.3	113

* Вольтарен: ПА = -42.5, ДА отсутствует; фуросемид: ПА – отсутствует, ДА = 188.

** ПА – противовоспалительная активность; "–" – угнетение отека; "+" – усиление отека.

*** ДА – диуретическая активность.

Таблица 2

Спектры ЯМР ^1H соединений 2a–q

Соеди- нение	Химические сдвиги, δ , м. д. (J , Гц)							R	
	1-OH (1H, с)	NH (1H)	Пирролохинолиновое ядро						
			H-9 (1H, д)	H-7 (1H, д)	H-8 (1H, т)	5-CH ₂ (2H, т)	6-CH ₂ (2H, т)		
2a	17.20	10.11 (к, $J = 4.2$)	7.71 ($J = 8.2$)	7.41 ($J = 7.3$)	7.13 ($J = 7.5$)	4.34 ($J = 7.9$)	3.42 ($J = 8.1$)	2.99 (3H, д, $J = 4.8$, CH ₃)	
2b	17.26	10.23 (т, $J = 5.3$)	7.69 ($J = 8.0$)	7.43 ($J = 7.0$)	7.14 ($J = 7.5$)	4.32 ($J = 8.2$)	3.41 ($J = 8.2$)	3.45 (2H, кв, $J = 6.2$, CH ₂ CH ₃); 1.27 (3H, т, $J = 7.1$, CH ₂ CH ₃)	
2c	17.02	10.37 (т, $J = 5.4$)	7.69 ($J = 8.0$)	7.44 ($J = 7.1$)	7.14 ($J = 7.4$)	4.33 ($J = 8.0$)	3.41 ($J = 7.8$)	5.95 (1H, м, CH); 5.28 (1H, д, д, $J = 16.9$, $J = 1.7$, NCH ₂ CH=CH- <i>trans</i>); 5.17 (1H, д, д, $J = 11.0$, $J = 1.7$, NCH ₂ CH=CH- <i>cis</i>); 4.05 (2H, т, $J = 5.5$, NCH ₂ CH=CH ₂)	
2d	17.25	10.28 (т, $J = 5.2$)	7.68 ($J = 8.0$)	7.43 ($J = 7.1$)	7.13 ($J = 7.6$)	4.32 ($J = 8.3$)	3.41 ($J = 8.2$)	3.37 (2H, к, $J = 7.1$, NCH ₂ CH ₂ CH ₃); 1.66 (2H, м, NCH ₂ CH ₂ CH ₃); 1.03 (3H, т, $J = 7.1$, CH ₃)	
2e	17.29	10.17 (д, $J = 6.7$)	7.70 ($J = 8.3$)	7.42 ($J = 7.2$)	7.13 ($J = 7.5$)	4.32 ($J = 8.1$)	3.41 ($J = 8.1$)	4.18 (1H, м, CH); 1.30 (6H, д, $J = 7.0$, 2CH ₃)	
2f	17.26	10.25 (т, $J = 4.8$)	7.68 ($J = 8.0$)	7.43 ($J = 7.2$)	7.14 ($J = 7.8$)	4.32 ($J = 8.5$)	См. R	3.45–3.36 (4H, м, CH ₂ -6 + NCH ₂); 1.63 (2H, кв, $J = 7.4$, NCH ₂ CH ₂); 1.46 (2H, м, NCH ₂ CH ₂ CH ₂ CH ₃); 0.99 (3H, т, $J = 7.4$, CH ₃)	
2g	17.25	10.35 (т, $J = 5.2$)	7.69 ($J = 8.2$)	7.43 ($J = 6.8$)	7.14 ($J = 7.5$)	4.33 ($J = 8.2$)	3.42 ($J = 8.1$)	3.25 (2H, т, $J = 6.2$, NHCH ₂); 1.93 (1H, м, CH); 1.02 (6H, д, $J = 7.1$, 2CH ₃)	
2h	17.30	10.19 (д, $J = 7.7$)	7.68 ($J = 8.1$)	7.42 ($J = 7.3$)	7.13 ($J = 7.7$)	4.31 ($J = 8.2$)	3.41 ($J = 8.2$)	4.02 (1H, м, NCH); 1.62 (2H, кв, $J = 7.3$, NCHCH ₂); 1.26 (3H, д, $J = 6.9$, NCHCH ₃); 0.99 (3H, т, $J = 7.3$, CH ₂ CH ₃)	

2i	17.25	10.33 (τ, $J = 5.2$)	7.69 ($J = 8.2$)	7.39 ($J = 7.1$)	7.11 ($J = 7.5$)	4.32 ($J = 8.3$)	См. R	3.44–3.38 (4H, м, 6-CH ₂ + NCH ₂); 1.65 (2H, кв, $J = 7.0$, NCH ₂ CH ₂); 1.42 (4H, м, (CH ₂) ₂ CH ₃); 0.96 (3H, τ, $J = 7.1$, CH ₃)
2j	17.26	10.23 (τ, $J = 5.3$)	7.69 ($J = 8.2$)	7.43 ($J = 7.4$)	7.14 ($J = 7.7$)	4.31 ($J = 8.0$)	См. R	3.45–3.38 (4H, м, 6-CH ₂ + NCH ₂); 1.73 (1H, м, CH); 1.53 (2H, к, $J = 7.4$, NCH ₂ CH ₂); 0.98 (6H, д, $J = 7.2$, 2CH ₃)
2k	17.28	10.35 (τ, $J = 5.0$)	7.65 ($J = 8.1$)	7.41 ($J = 7.4$)	7.11 ($J = 7.7$)	4.31 ($J = 8.2$)	3.39 ($J = 8.0$)	4.58 (1H, τ, $J = 4.5$, OH); 3.61 (2H, к, $J = 5.6$, CH ₂ O); 3.47 (2H, к, $J = 5.3$, NCH ₂)
2l	17.31	10.28 (τ, $J = 5.2$)	7.67 ($J = 8.0$)	7.42 ($J = 7.0$)	7.13 ($J = 7.5$)	4.31 ($J = 8.1$)	3.40 ($J = 7.9$)	4.19 (1H, τ, $J = 5.2$, OH); 3.55 (2H, к, $J = 5.8$, CH ₂ O); 3.48 (2H, к, $J = 6.3$, NCH ₂); 1.76 (2H, кв, $J = 6.2$, NCH ₂ CH ₂)
2m	17.12	10.22 (д, $J = 3.2$)	7.69 ($J = 8.0$)	7.43 ($J = 7.5$)	7.14 ($J = 7.8$)	4.30 ($J = 7.9$)	3.41 ($J = 8.0$)	2.94 (1H, м, CH); 0.85 (2H, м, CH ₂ циклопропана); 0.66 (2H, м, CH ₂ циклопропана)
2n	17.29	10.29 (д, $J = 7.1$)	7.67 ($J = 7.9$)	7.41 ($J = 7.1$)	7.13 ($J = 8.2$)	4.30 ($J = 7.9$)	3.41 ($J = 8.0$)	4.34 (1H, м, CH); 2.04–1.40 (8H, м, (CH ₂) ₄ циклопентана)
2o	17.32	10.34 (д, $J = 7.3$)	7.69 ($J = 8.0$)	7.42 ($J = 7.2$)	7.14 ($J = 8.1$)	4.31 ($J = 8.0$)	3.42 ($J = 8.0$)	3.91 (1H, м, CH); 1.93–1.20 (10H, м, (CH ₂) ₅ циклогексана)
2p	17.31	10.34 (д, $J = 7.7$)	7.68 ($J = 8.0$)	7.43 ($J = 6.9$)	7.14 ($J = 7.5$)	4.32 ($J = 8.3$)	3.41 ($J = 8.1$)	4.11 (1H, м, CH); 1.95–1.43 (12H, м, (CH ₂) ₆ циклогептана)
2q	17.42	10.26 (с)	7.68 ($J = 8.1$)	7.41 ($J = 7.2$)	7.13 ($J = 7.7$)	4.30 ($J = 8.0$)	3.41 ($J = 8.0$)	2.14 (9H, с, γ-H-узловые + β-H-мостиковые адамантана); 1.74 (6H, с, δ-H-мостиковые адамантана)

Таблица 3

Длины связей (*l*) в структуре амида 2h

Связь	<i>l</i> , Å	Связь	<i>l</i> , Å
N ₍₁₎ —C ₍₉₎	1.367(2)	N ₍₁₎ —C ₍₁₎	1.367(2)
N ₍₁₎ —C ₍₁₀₎	1.461(2)	N ₍₂₎ —C ₍₁₂₎	1.335(3)
N ₍₂₎ —C _(13A)	1.471(1)	N ₍₂₎ —C _(13B)	1.471(1)
O ₍₁₎ —C ₍₉₎	1.242(2)	O ₍₂₎ —C ₍₇₎	1.326(2)
O ₍₃₎ —C ₍₁₂₎	1.262(2)	C ₍₁₎ —C ₍₆₎	1.380(3)
C ₍₁₎ —C ₍₂₎	1.389(3)	C ₍₂₎ —C ₍₃₎	1.367(3)
C ₍₂₎ —C ₍₁₁₎	1.510(3)	C ₍₃₎ —C ₍₄₎	1.401(3)
C ₍₄₎ —C ₍₅₎	1.367(3)	C ₍₅₎ —C ₍₆₎	1.415(3)
C ₍₆₎ —C ₍₇₎	1.426(3)	C ₍₇₎ —C ₍₈₎	1.382(3)
C ₍₈₎ —C ₍₉₎	1.460(3)	C ₍₈₎ —C ₍₁₂₎	1.465(3)
C ₍₁₀₎ —C ₍₁₁₎	1.546(3)	C _(13A) —C _(16A)	1.539(1)
C _(13A) —C _(14A)	1.540(1)	C _(14A) —C _(15A)	1.540(1)
C _(13B) —C _(16B)	1.540(1)	C _(13B) —C _(14B)	1.540(1)
C _(14B) —C _(15B)	1.540(1)		

близкую к *ap* относительно связи C₍₈₎—C₍₁₂₎ (торсионный угол C₍₁₃₎N₍₂₎C₍₁₂₎C₍₈₎ составляет 165.9(2)° в конформере **A** и -157.4(3)° в **B**). Метильная группа этого заместителя в конформере **A** находится в *-ac*-конформации, а в **B** – в *+sc*-конформации относительно связи C₍₁₂₎—N₍₂₎ (торсионный угол C₍₁₂₎N₍₂₎C₍₁₃₎C₍₁₆₎ -123.4(4)° для **A** и 78.8(8)° для **B**). Этильная группа находится в *+ac*- и *-ac*-конформации относительно связи C₍₁₂₎—N₍₂₎ в **A** и **B**, соответственно, и развернута относительно связи N₍₂₎—C₍₁₃₎ (торсионные углы C₍₁₂₎N₍₂₎C₍₁₃₎C₍₁₄₎ 120.9(4)° в **A** и -158.3(4)° в **B**, N₍₂₎C₍₁₃₎C₍₁₄₎C₍₁₅₎ -49.2(5)° в **A** и 54.8(9)° в **B**). При этом возникают укороченные внутримолекулярные контакты H_(13b)...O₍₃₎ 2.39 (сумма ван-дер-

Таблица 4

Валентные углы (ω) в структуре амида 2h

Угол	ω , град.	Угол	ω , град.
C ₍₉₎ —N ₍₁₎ —C ₍₁₎	122.8(2)	C ₍₉₎ —N ₍₁₎ —C ₍₁₀₎	125.9(2)
C ₍₁₎ —N ₍₁₎ —C ₍₁₀₎	111.3(2)	C ₍₁₂₎ —N ₍₂₎ —C _(13A)	125.8(2)
C ₍₁₂₎ —N ₍₂₎ —C _(13B)	117.0(3)	N ₍₁₎ —C ₍₁₎ —C ₍₆₎	123.7(2)
N ₍₁₎ —C ₍₁₎ —C ₍₂₎	111.9(2)	C ₍₆₎ —C ₍₁₎ —C ₍₂₎	124.3(2)
C ₍₃₎ —C ₍₂₎ —C ₍₁₎	117.8(2)	C ₍₃₎ —C ₍₂₎ —C ₍₁₁₎	134.2(2)
C ₍₁₎ —C ₍₂₎ —C ₍₁₁₎	107.9(2)	C ₍₂₎ —C ₍₃₎ —C ₍₄₎	119.4(2)
C ₍₅₎ —C ₍₄₎ —C ₍₃₎	122.5(2)	C ₍₄₎ —C ₍₅₎ —C ₍₆₎	119.0(2)
C ₍₁₎ —C ₍₆₎ —C ₍₅₎	116.9(2)	C ₍₁₎ —C ₍₆₎ —C ₍₇₎	116.0(2)
C ₍₅₎ —C ₍₆₎ —C ₍₇₎	127.1(2)	O ₍₂₎ —C ₍₇₎ —C ₍₈₎	122.1(2)
O ₍₂₎ —C ₍₇₎ —C ₍₆₎	117.3(2)	C ₍₈₎ —C ₍₇₎ —C ₍₆₎	120.7(2)
C ₍₇₎ —C ₍₈₎ —C ₍₉₎	121.5(2)	C ₍₇₎ —C ₍₈₎ —C ₍₁₂₎	118.0(2)
C ₍₉₎ —C ₍₈₎ —C ₍₁₂₎	120.5(2)	O ₍₁₎ —C ₍₉₎ —N ₍₁₎	119.3(2)
O ₍₁₎ —C ₍₉₎ —C ₍₈₎	125.4(2)	N ₍₁₎ —C ₍₉₎ —C ₍₈₎	115.3(2)
N ₍₁₎ —C ₍₁₀₎ —C ₍₁₁₎	104.0(2)	C ₍₂₎ —C ₍₁₁₎ —C ₍₁₀₎	104.7(2)
O ₍₃₎ —C ₍₁₂₎ —N ₍₂₎	121.5(2)	O ₍₃₎ —C ₍₁₂₎ —C ₍₈₎	119.6(2)
N ₍₂₎ —C ₍₁₂₎ —C ₍₈₎	118.9(2)	N ₍₂₎ —C _(13A) —C _(16A)	117.9(4)
N ₍₂₎ —C _(13A) —C _(14A)	104.1(3)	C _(16A) —C _(13A) —C _(14A)	104.9(4)
C _(15A) —C _(14A) —C _(13A)	112.9(4)	N ₍₂₎ —C _(13B) —C _(16B)	129.9(5)
N ₍₂₎ —C _(13B) —C _(14B)	103.0(4)	C _(16B) —C _(13B) —C _(14B)	105.1(6)
C _(15B) —C _(14B) —C _(13B)	104.1(8)		

ваальсовых радиусов 2.46 [7]), $H_{(14a)}\dots N_{(2)}$ 2.64 (2.67), $H_{(14d)}\dots N_{(2)}$ 2.59 (2.67), $H_{(15b)}\dots N_{(2)}$ 2.40 (2.67), $H_{(15f)}\dots N_{(2)}$ 2.18 (2.67), $H_{(15f)}\dots H_{(2Nb)}$ 1.92 Å (2.34 Å).

Теоретическим обоснованием для изучения противовоспалительных свойств синтезированных нами соединений послужила способность близких по строению 4-гидрокси-2-оксо-1,2-дигидрохинолин-3-карбоксамидов активно подавлять воспалительную реакцию организма на введение каррагенина [8]. Исследования проведены по известной методике [9] на белых беспородных крысах весом 180–200 г на модели каррагенинового отека. Воспаление вызывали путем субплантарного введения в одну из задних лап 0.1 мл 1% водной суспензии каррагенина. Амиды **2a–q** вводили внутрижелудочно в виде тонкой водной суспензии, стабилизированной твином-80, в дозе 8 мг/кг (эффективная доза препарата сравнения – вольтарена) за 1 ч до инъекции каррагенина. Оказываемый исследуемыми соединениями эффект оценивали через 2 ч (максимум развития отека, вызванного каррагенином) онкометрически. Из представленных в табл. 1 экспериментальных данных следует, что из всей группы веществ только адамантил-1-амид **2q** проявляет заметное, хотя и уступающее вольтарену, антиэксседативное действие. Остальные соединения либо практически не влияют на отек, либо, как например этиламид **2b**, оказывают выраженный провоспалительный эффект.

Влияние амидов **2a–q** на мочевыделительную функцию почек изучено по методу Тейлера и Топлиса [10] на белых беспородных крысах весом 180–200 г. Всем животным через желудочный зонд давалась водная нагрузка из расчета 25 мл/кг. Исследуемые соединения вводили внутрижелудочно в дозе 25 мг/кг (эффективная доза фуросемида), после чего подопытные животные помещались в "обменные клетки". Регистрировали диурез через 2 ч, принимая контроль за 100% (табл. 1). Следует отметить достаточно высокий уровень мочегонного действия циклопентиламида **2n**, лишь незначительно уступающего в активности фуросемиду. Как было установлено нами ранее [11, 12], диуретические свойства в большей или меньшей мере присущи только арилалкиламида 4-гидрокси-2-оксо-1,2-дигидрохинолин-3-карбоновых кислот, тогда как с переходом к алкиламида активность полностью исчезала. Поэтому $C_{(8)}/N_{(1)}$ -аннелирование 4-гидрокси-2-оксо-1,2-дигидрохинолинового ядра с дигидропиррольным можно рассматривать как структурный фактор, способствующий проявлению диуретического действия. Этот факт, несомненно, заслуживает внимания и дальнейшего изучения.

ЭКСПЕРИМЕНТАЛЬНАЯ ЧАСТЬ

Спектры ЯМР 1H синтезированных соединений записаны на приборе Bruker WM-360 (360 МГц) в ДМСО- d_6 , внутренний стандарт ТМС. Контроль за ходом амидирования эфира **1** осуществлялся методом ТСХ на пластинках Silufol UV-254 в системе гексан–эфир, 1:2, проявитель пары иода. Этиловый эфир 1-гидрокси-3-оксо-5,6-дигидро-3Н-пирроло[3,2,1-*ij*]-хинолин-2-карбоновой кислоты (**1**) получен по методике работы [13].

Метиламид 1-гидрокси-3-оксо-5,6-дигидро-3Н-пирроло[3,2,1-*ij*]хинолин-2-карбоновой кислоты (2a). Раствор 2.59 г (0.01 моль) этилового эфира **1** в 20 мл этанола насыщают газообразным метиламином и оставляют при комнатной температуре на 3 ч. Реакционную смесь разбавляют холодной водой и подкисляют разбавленной (1:1) HCl до pH 4.5–5.0. Выделившийся осадок амida **2a** отфильтровывают, промывают водой, сушат.

Этиламид 2b синтезируют по аналогичной методике.

Аллиламид 1-гидрокси-3-оксо-5,6-дигидро-3Н-пирроло[3,2,1-*j*]хинолин-2-карбоновой кислоты (2с). К раствору 2.59 г (0.01 моль) этилового эфира **1** в 15 мл этанола прибавляют 0.83 мл (0.011 моль) аллиламина и кипятят с обратным холодильником 2 ч (в случае пространственно затрудненных аминов продолжительность реакции увеличивают до 3–4 ч). Обработку реакционной смеси и выделение конечного вещества проводят по методике предыдущего опыта.

Алкиламиды 2d–q получают аналогично.

Рентгеноструктурное исследование. Кристаллы *втор*-бутиламида **2h** триклинические (этанол), при 20 °С: $a = 7.198(1)$, $b = 8.658(1)$, $c = 12.591(1)$ Å, $\alpha = 71.88(1)$, $\beta = 82.293(1)$, $\gamma = 77.59(1)$ °, $V = 726.4(1)$ Å³, $M_r = 286.32$, $Z = 2$, пространственная группа $P\bar{1}$, $d_{\text{выч}} = 1.309$ г/см³, $\mu(\text{MoK}\alpha) = 0.091$ мм⁻¹, $F(000) = 304$. Параметры элементарной ячейки и интенсивности 6179 отражений (2518 независимых, $R_{\text{int}} = 0.022$) измерены на дифрактометре Xcalibur-3 (MoKα излучение, CCD-детектор, графитовый монохроматор, ω -сканирование, $2\theta_{\text{max}} = 50$ °).

Структура расшифрована прямым методом по комплексу программ SHELXTL [14]. При уточнении структуры налагались ограничения на длины связей в разупорядоченном фрагменте N–C_{sp3} 1.47(1) и C_{sp3}–C_{sp3} 1.54(1) Å. Положения атомов водорода выявлены из разностного синтеза электронной плотности, а для разупорядоченной части рассчитаны геометрически и уточнены по модели "наездника" с $U_{\text{iso}} = nU_{\text{eq}}$ неводородного атома, связанного с данным водородным ($n = 1.5$ для метильной группы и $n = 1.2$ для остальных атомов водорода). Структуры уточнены по F^2 полноматричным МНК в анизотропном приближении для неводородных атомов до $wR_2 = 0.0124$ по 2418 отражениям ($R_1 = 0.048$ по 1315 отражениям с $F > 4\sigma(F)$, $S = 0.869$). Полная кристаллографическая информация депонирована в Кембриджском банке структурных данных (депонент № CCDC 604003). Межатомные расстояния и валентные углы представлены в табл. 3 и 4.

СПИСОК ЛИТЕРАТУРЫ

1. И. В. Украинец, Н. Л. Березнякова, Г. П. Петюнин, И. А. Тугайбей, В. Б. Рыбаков, В. В. Чернышев, А. В. Турков, *XTC*, 864 (2007).
2. А. Kutyrev, T. Kappe, *J. Heterocycl. Chem.*, **34**, 969 (1997).
3. И. В. Украинец, П. А. Безуглый, О. В. Горохова, В. И. Трескач, В. А. Георгиянц, А. В. Турков, И. Л. Дикий, *XTC*, 100 (1993). [(*Chem. Heterocycl. Comp.*, **29**, 87 (1993))].
4. И. В. Украинец, С. Г. Таран, Н. В. Лиханова, Джарадат Нидаль Амин, О. В. Шишкін, *XTC*, 64 (2000). [(*Chem. Heterocycl. Comp.*, **36**, 57 (2000))].
5. I. V. Українець, С. A. Ель Кааль, О. В. Горохова, Л. В. Сидоренко, Т. В. Алексєєва, *Вісник фармації*, № 1 (41), 10 (2005).
6. H.-B. Burgi, J. D. Dunitz, *Struct. Correl.*, VCH, Weinheim, 1994, vol. 2, p. 741.
7. Ю. В. Зефиров, *Кристаллография*, **42**, 936 (1997).
8. X. Collin, J. M. Robert, M. Duflos, G. Wielgosz, G. Le Baut, C. Robin-Dubigeon, N. Grimaud, F. Lang, J. Y. Petit, *J. Pharm. Pharmacol.*, **53**, 417 (2001).
9. С. М. Дрововоз, І. А. Зупанець, М. А. Мохорт, Л. В. Яковлєва, Б. М. Клебанов, в кн. *Дослідження лікарських засобів: методичні рекомендації*, под ред. О. В. Степанова, Авіценна, Київ, 2001, с. 292.
10. Л. Н. Сернов, В. В. Гацура, *Элементы экспериментальной фармакологии*, Москва, 2000, с. 103.
11. С. Г. Таран, Н. В. Лиханова, І. В. Українець, С. Г. Леонова, Л. М. Вороніна, О. І. Набока, *Вісник фармації*, № 2 (20), 47 (1999).
12. И. В. Украинец, Дис. докт. хим. наук, Харьков, 1992.
13. И. В. Украинец, Л. В. Сидоренко, О. В. Горохова, Е. В. Моспанова, О. В. Шишкін, *XTC*, 718 (2006). [(*Chem. Heterocycl. Comp.*, **42**, 631 (2006))].
14. G. M. Sheldrick, *SHELXTL PLUS. PC Version. A System of Computer Programs for the Determination of Crystal Structure from X-ray Diffraction Data*. Rev. 5.1 (1998).

Национальный фармацевтический университет,
Харьков 61002, Украина
e-mail: uiv@kharkov.ua

Поступило 27.03.2006